

05,06

## Инверсный мультимодовый магнитоэлектрический эффект в пьезомагнотриксционных кольцах

© Д.А. Филиппов<sup>1</sup>, Г.С. Радченко<sup>2,3</sup>, М.Г. Радченко<sup>4</sup>, Т.А. Галкина<sup>1</sup>

<sup>1</sup> Новгородский государственный университет им. Ярослава Мудрого, Великий Новгород, Россия

<sup>2</sup> Южный федеральный университет, Ростов-на-Дону, Россия

<sup>3</sup> Научно-исследовательский институт физики Южного федерального университета, Ростов-на-Дону, Россия

<sup>4</sup> Ростовский филиал Московского государственного технического университета гражданской авиации, Ростов-на-Дону, Россия

E-mail: Dmitry.Filippov@novsu.ru

(Поступила в Редакцию 3 октября 2014 г.)

Представлено теоретическое исследование частотной зависимости инверсного магнитоэлектрического эффекта в пьезомагнотриксционных кольцах в области радиальных резонансов. Получено аналитическое выражение для коэффициента инверсного магнитоэлектрического преобразования для кольцеобразных образцов с аксиальной поляризацией. Показано, что в зависимости от геометрии структуры происходит перераспределение энергии между модами, в результате чего образуются области, где одни моды отсутствуют, а амплитуда других возрастает. Теоретически предсказано получение коэффициента передачи по напряжению, которое может значительно превышать данный параметр в образцах в форме сплошного диска.

Работа выполнена при частичной поддержке Министерства образования и науки РФ в рамках государственного задания высшим учебным заведениям и гранта РФФИ № 14-42-06007.

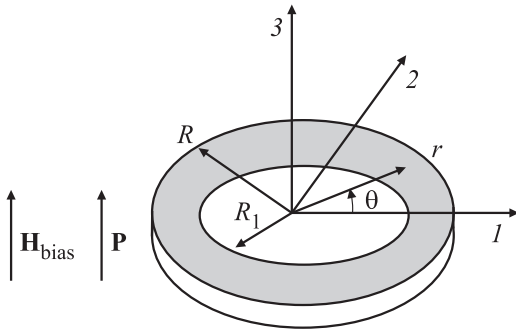
### 1. Введение

Пьезомагнотриксционные структуры интересны тем, что в них возможны перекрестные эффекты, когда воздействие одной симметрии порождает отклик, относящийся к другой симметрии. К таким эффектам, в частности, относится магнитоэлектрический (МЭ) эффект, заключающийся в том, что в некоторых кристаллах приложение магнитного поля вызывает изменение поляризации (прямой МЭ-эффект) и, наоборот, приложение электрического поля вызывает изменение намагниченности. Впервые возможность существования таких эффектов предсказали Ландау и Лифшиц [1]. Дзялошинский [2] показал, что кристалл  $\text{Cr}_2\text{O}_3$  обладает структурой, в которой этот эффект может наблюдаться, а Астров и Радо впервые обнаружили указанный эффект экспериментально [3,4]. В монокристаллах величина МЭ-эффекта незначительна, поэтому он не нашел широкого практического применения. В пьезомагнотриксционных композитах величина эффекта на несколько порядков больше, что открывает возможности создания на его основе датчиков магнитного поля, фазовращателей и других электронных устройств [5]. На основе инверсного МЭ-эффекта возможно создание трансформаторов, имеющих в отличие от классических всего одну обмотку [6,7]. Особенностью частотной зависимости МЭ-эффекта в пьезомагнотриксционных структурах является наличие электромеханического резонанса [8], при котором величина эффекта на порядки превосходит

его значение в области, далекой от резонансной частоты. Условие резонанса определяется в первую очередь геометрическими размерами структуры и ее механическими свойствами.

Ранее в работах [9–12] исследовался инверсный МЭ-эффект в структурах типа пластинки и диска. В данной работе проведено исследование частотной зависимости инверсного МЭ-эффекта в кольцевых пьезомагнотриксционных структурах. Показано, что в зависимости от геометрических параметров колец происходит перераспределение энергии между модами. Это явление происходит за счет отбора энергии у мод более низкого порядка и запрещенных мод.

В работах [13,14] получены решения для тонкого пьезоэлектрического кольца на основе функций Бесселя и определены разрешенные и запрещенные моды при различных отношениях внешнего и внутреннего радиусов кольца. В этих работах рассмотрены чисто пьезоэлектрические колебания без учета влияния МЭ-эффекта. Между тем очевидно, что отклик при МЭ-эффекте вследствие наличия механической связи между магнотриксционной и пьезоэлектрической подсистемами будет иметь свои особенности. Как показано далее, перераспределение энергии между модами колебаний при МЭ-эффекте носит качественно иной характер, чем в чисто пьезоэлектрическом случае. В настоящей работе мы применим теорию для описания инверсного МЭ-эффекта в тонкой кольцевой МЭ-структуре, развитую ранее в [10]. В ее основе лежит совместное решение



**Рис. 1.** Схема пьезомагнитоэлектрического кольца, поляризованного и намагниченного в продольном (аксиальном) направлении.  $H_{\text{bias}}$  — подмагничивающее поле,  $P$  — поляризация образца.

уравнения движения среды и уравнений эластодинамики и электростатики.

## 2. Теория инверсного эффекта в тонких МЭ-кольцах с аксиальной намагниченностью и поляризацией

Рассмотрим пьезоэлектрическое плоскопараллельное кольцо из объемного пьезомагнитоэлектрического композита толщиной  $d$ , внешним радиусом  $R$  и внутренним радиусом  $R_1$  (рис. 1). На верхнюю и нижнюю поверхности кольца нанесены металлические контакты, толщину которых будем считать пренебрежимо малой. Кольцо предварительно поляризовано в направлении, перпендикулярном контактам (ось 3). Будем считать кольцо тонким, т.е.  $d \ll R, R_1$ . Это значит, что механическими напряжениями в продольном направлении можно пренебречь. В случае объемного композита, когда размеры зерен много меньше длин распространяющихся в нем акустических волн, композиционный материал можно рассматривать как однородный и описывать объект так называемыми эффективными параметрами, методика определения которых представлена в работах [15,16]. Ограничимся рассмотрением продольного эффекта, когда направления переменного магнитного поля и поля подмагничивания совпадают с направлением поляризации. В этом случае уравнения для тензора деформаций и проекции вектора магнитной индукции имеют вид

$$\begin{aligned} S_1 &= s_{11}T_1 + s_{12}T_2 + d_{31}E_3 + q_{31}H_3, \\ S_2 &= s_{12}T_1 + s_{11}T_2 + d_{31}E_3 + q_{31}H_3, \\ B_3 &= \mu_{33}H_3 + q_{31}(T_1 + T_2). \end{aligned} \quad (1)$$

Здесь  $S, T$  — компоненты тензоров деформации и напряжений;  $E_3 = E_m \exp(i\omega t)$  — приложенное переменное электрическое поле с частотой  $\omega$ ;  $s, d, q, \mu$  — эффективные упругая податливость, пьезомодуль, пьезомагнитный коэффициент и магнитная проницаемость

соответственно,  $H_3$  — напряженность переменного магнитного поля. При экспериментальном исследовании инверсного МЭ-эффекта исследуемый образец помещают внутрь катушки, содержащей  $N$  витков. При продольной ориентации ось катушки параллельна направлению поляризации. Эту же катушку можно использовать и для создания поля подмагничивания, если в цепь включить конденсатор, позволяющий разделить постоянную (поле подмагничивания) и переменную (выходной сигнал) составляющие. При подаче на электроды переменного электрического поля в пьезоэлектрической фазе композита возникают механические напряжения. Далее они посредством механического взаимодействия передаются в магнитоэлектрическую фазу. Это приводит к изменению намагниченности и, следовательно, к изменению магнитного потока, пронизывающего катушку. Вследствие явления электромагнитной индукции изменение магнитного потока приводит к возникновению ЭДС, которая и измеряется в условиях разомкнутой цепи.

Для упрощения вычислений перейдем к цилиндрической системе координат с помощью стандартных преобразований. Вследствие осевой симметрии задачи отличными от нуля компонентами тензора напряжений и деформаций будут  $T_m, T_{\theta\theta}, S_m, S_{\theta\theta}$ . Остальные компоненты тензоров напряжений и деформаций будут равными нулю. С учетом этого уравнения (1) примут следующий вид:

$$\begin{aligned} S_{rr} &= s_{11}T_{rr} + s_{12}T_{\theta\theta} + d_{31}E_3 + q_{31}H_3, \\ S_{\theta\theta} &= s_{12}T_{rr} + s_{11}T_{\theta\theta} + d_{31}E_3 + q_{31}H_3, \\ B_3 &= \mu_{33}H_3 + q_{31}(T_{rr} + T_{\theta\theta}). \end{aligned} \quad (2)$$

Компоненты тензора деформаций в цилиндрической системе координат, обладающей осевой симметрией, связаны с компонентами вектора смещений следующим образом:

$$S_{rr} = \frac{du_r}{dr}, \quad S_{\theta\theta} = \frac{u_r}{r}. \quad (3)$$

Здесь  $u_r$  — есть единственная отличная от нуля радиальная компонента вектора смещения среды.

Выражая компоненты тензора напряжений через компоненты тензора деформаций, получим для них выражения

$$\begin{aligned} T_{rr} &= \frac{1}{s_{11}(1-\nu^2)} \left( S_{rr} + \nu S_{\theta\theta} - (1+\nu)(d_{31}E_3 + q_{31}H_3) \right), \\ T_{\theta\theta} &= \frac{1}{s_{11}(1-\nu^2)} \left( \nu S_{rr} + S_{\theta\theta} - (1+\nu)(d_{31}E_3 + q_{31}H_3) \right), \end{aligned} \quad (4)$$

где  $\nu = -s_{12}/s_{11}$  — коэффициент Пуассона.

Для рассматриваемой задачи уравнение движения среды имеет вид

$$\rho \ddot{u}_r = \frac{\partial T_{rr}}{\partial r} + \frac{(T_{rr} - T_{\theta\theta})}{r}. \quad (5)$$

Подставляя в уравнение (5) выражения (3), (4) и учитывая гармонический характер колебаний, для уравнения движения после преобразований получим следующее выражение:

$$\frac{\partial^2 u_r}{\partial r^2} + \frac{1}{r} \frac{\partial u_r}{\partial r} - \frac{u_r}{r^2} + k^2 u_r = 0, \quad (6)$$

где  $k = \sqrt{\rho s_{11}(1 - \nu^2)\omega}$  — волновое число,  $\rho$  — эффективная плотность композита. Уравнение (6) представляет собой уравнение Бесселя, общее решение которого записывается в виде линейной комбинации функций Бесселя первого и второго рода

$$u_r(r) = c_1 J_1(kr) + c_2 Y_1(kr), \quad (7)$$

где  $J_1(kr)$ ,  $Y_1(kr)$  — функции Бесселя первого и второго рода соответственно.

Отличительной особенностью данной задачи от задачи, рассмотренной в работе [10], являются граничные условия, с помощью которых определяются постоянные интегрирования  $c_1$  и  $c_2$ . В случае диска граничные условия сводятся к равенству нулю радиальной компоненты механических напряжений  $T_{rr}$  на внешней поверхности и равенству нулю радиальной компоненты вектора смещений  $u_r$  в центре диска. Для кольца граничные условия выражаются в равенстве нулю радиальной компоненты механических напряжений  $T_{rr}$  на внутренней и внешней поверхности кольца. Это приводит к принципиальным отличиям в спектре колебаний. Используя данные граничные условия, для постоянных интегрирования  $c_1$  и  $c_2$  получаем следующие выражения:

$$\begin{aligned} c_1 &= \frac{\Delta_1}{\Delta_r} (1 + \nu)(d_{31}E_3 + q_{31}H_3)R, \\ c_2 &= \frac{\Delta_2}{\Delta_r} (1 + \nu)(d_{31}E_3 + q_{31}H_3)R, \end{aligned} \quad (8)$$

где введены обозначения

$$\begin{aligned} \Delta_r &= [\kappa Y_0(\kappa) - (1 - \nu)Y_1(\kappa)] [\kappa_1 J_0(\kappa_1) - (1 - \nu)J_1(\kappa_1)] \\ &\quad - [\kappa_1 Y_0(\kappa_1) - (1 - \nu)Y_1(\kappa_1)] [\kappa J_0(\kappa) - (1 - \nu)J_1(\kappa)], \\ \Delta_1 &= [\kappa_1 Y_0(\kappa) - \eta(1 - \nu)Y_1(\kappa)] \\ &\quad - [\kappa_1 J_0(\kappa_1) - (1 - \nu)J_1(\kappa_1)], \\ \Delta_2 &= [\kappa_1 Y_0(\kappa_1) - (1 - \nu)J_1(\kappa_1)] \\ &\quad - [\kappa_1 J_0(\kappa) - \eta(1 - \nu)J_1(\kappa)]. \end{aligned} \quad (9)$$

Здесь  $\kappa = kR$ ,  $\kappa_1 = kR_1$ ,  $\eta = R_1/R$  — безразмерные параметры. Выражая компоненты тензора напряжений через радиальную деформацию по формулам (4) и учитывая третье соотношение в (2), для индукции магнитного поля в композите  $B_3(r)$  получим выражение

$$\begin{aligned} B_3(r) &= \mu_{33}H_3 + \frac{q_{3q}}{s_{11}(1 - \nu)} \\ &\quad \times \left( \frac{\kappa(1 + \nu)}{\Delta_r} (\Delta_1 J_0(kr) + \Delta_2 Y_0(kr)) - 2 \right) (d_{31}E_3 + q_{31}H_3). \end{aligned} \quad (10)$$

Коэффициент инверсного МЭ-преобразования при продольном эффекте, характеризующий эффективность преобразования электрического поля в магнитное, определим как

$$\alpha_B = \langle B_3 \rangle / \langle E_3 \rangle, \quad (11)$$

где  $\langle E_3 \rangle = U_m/d$  — среднее значение напряженности электрического поля,  $U_m$  — приложенное переменное напряжение. Среднее значение индукции магнитного поля  $\langle B_3 \rangle$  определим следующим образом:

$$\langle B_3 \rangle = \frac{1}{S_{\text{ring}}} \int_0^{2\pi} d\theta \int_{R_1}^R B_3(r) r dr, \quad (12)$$

где  $S_{\text{ring}} = \pi(R^2 - R_1^2)$  — площадь кольца.

Подставляя выражение (10) в уравнение (12) и выполняя интегрирование, с учетом (11) для коэффициента инверсного МЭ-преобразования получим итоговое выражение в виде

$$\alpha_B = \frac{2d_{31}q_{31}}{s_{11}(1 - \nu)} \left[ \frac{(1 + \nu)}{(1 - \eta^2)} \frac{(\Delta_1 \Delta_3 + \Delta_2 \Delta_4)}{\Delta_r} - 1 \right], \quad (13)$$

где  $\Delta_3 = J_1(\kappa) - \eta J_1(\kappa_1)$ ,  $\Delta_4 = Y_1(\kappa) - \eta Y_1(\kappa_1)$ .

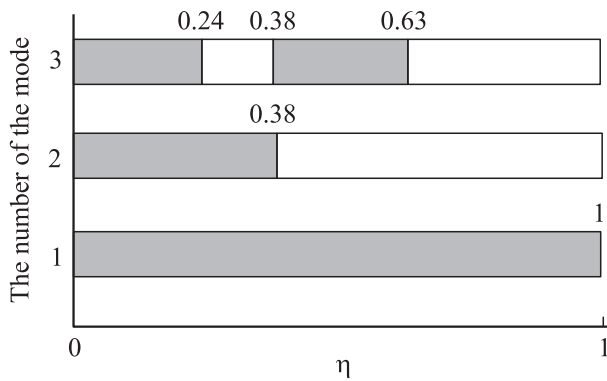
При выводе соотношения (13) был использован тот факт, что измерения проводятся при условии разомкнутой цепи, т.е. сила тока в катушке индуктивности  $I = 0$ . Тогда из теоремы о циркуляции напряженности магнитного поля следует, что и  $H_3 = 0$ .

Можно показать, что в предельном переходе при  $R_1 \rightarrow 0$  выражение (13) совпадает с выражением для коэффициента инверсного МЭ-преобразования, полученным в работе [10] для диска.

Выражение для коэффициента трансформации напряжения  $k = U_{\text{out}}/U_m$  (где  $U_{\text{out}} = \left| -\frac{\partial \Phi}{\partial t} \right| = N|\dot{\omega} \langle B_3 \rangle S_{\text{ring}}|$  — выходное напряжение,  $U_m = E_3 d$  — входное напряжение) получим, используя (13), в следующей форме:

$$k = N\omega \frac{\pi(R^2 - R_1^2)}{d} \alpha_B. \quad (14)$$

Выражения (13) и (14) позволяют рассчитать частотные зависимости коэффициента инверсного МЭ-преобразования и коэффициента трансформации напряжения, используя геометрические размеры образца и физические параметры структуры. При распространении волн в таких структурах всегда присутствуют потери. Они определяют ширину резонансной линии и ограничивают пиковое значение магнитоэлектрического коэффициента. В настоящей работе, как и в [10], потери учитываются представлением круговой частоты  $\omega$  в виде  $\omega = \omega' + i\chi$ , где  $\chi$  — коэффициент затухания. При этом под величиной  $\alpha_B$  мы будем подразумевать ее абсолютное значение.



**Рис. 2.** Диаграммная зависимость областей существования первых трех мод колебаний кольцевой МЭ-структуры от отношения внутреннего радиуса кольца к внешнему. Белым цветом показаны области, где моды запрещены.

### 3. Результаты расчетов и их обсуждение

Как видно из (8), (10), (13), условием существования мод колебаний кольца при инверсном эффекте является наличие корней следующего уравнения  $\Delta_r = 0$  или

$$\begin{aligned} & [\kappa Y_0(\kappa) - (1 - \nu)Y_1(\kappa)] / [\kappa J_0(\kappa) - (1 - \nu)J_1(\kappa)] \\ &= [\kappa_1 Y_0(\kappa_1) - (1 - \nu)Y_1(\kappa_1)] / [\kappa_1 J_0(\kappa_1) - (1 - \nu)J_1(\kappa_1)]. \end{aligned} \tag{15}$$

Соотношение (15) выполняется при условии пересечения аргументов у функции

$$f(\kappa) = [\kappa Y_0(\kappa) - (1 - \nu)Y_1(\kappa)] / [\kappa J_0(\kappa) - (1 - \nu)J_1(\kappa)]$$

и функции

$$f(\kappa_1) = [\kappa_1 Y_0(\kappa_1) - (1 - \nu)Y_1(\kappa_1)] / [\kappa_1 J_0(\kappa_1) - (1 - \nu)J_1(\kappa_1)].$$

Учитывая соотношение между  $\kappa$  и  $\kappa_1$ , а также условия отсутствия наложения аргументов функции  $f(\kappa)$  между дисковыми резонансами для разрешенных мод [14] получаем диаграмму, представленную на рис. 2. Она иллюстрирует существование первых трех мод в зависимости от параметра  $\eta$ , равного отношению внутреннего радиуса кольца к внешнему, т.е.  $\eta = R_1/R$ . Первая мода существует при всех значениях параметра, вторая мода имеет один запрещенный интервал, третья мода запрещена на двух интервалах изменения  $\eta$  и т.д.

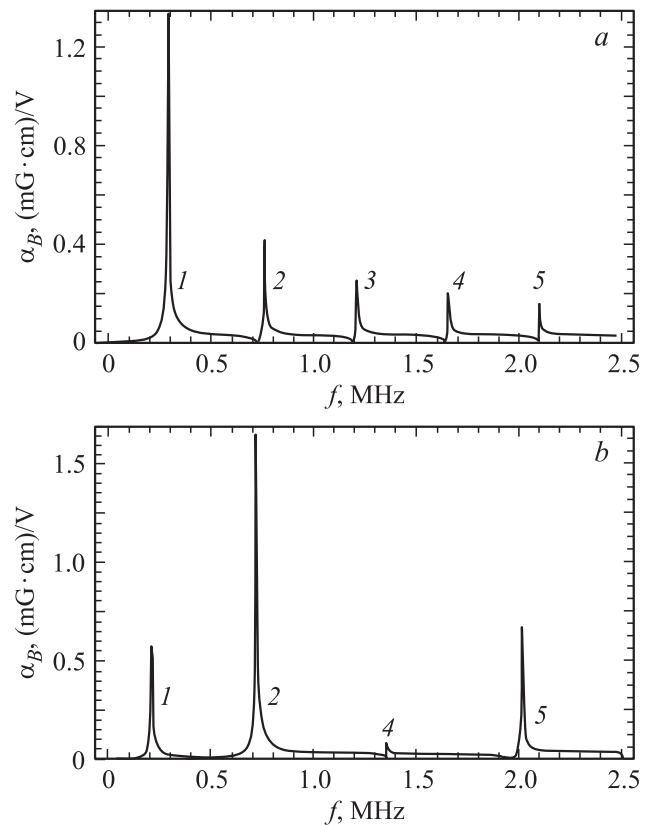
На рис. 3 представлены результаты расчетов коэффициента инверсного МЭ-преобразования для диска (a) и для кольца (b) при значении параметра  $\eta = 1/3$ . При расчетах, представленных на рис. 3, использовались параметры  $s_{11} = 10 \cdot 10^{-12} \text{ m}^2/\text{N}$ ,  $d_{31} = -1.75 \cdot 10^{-12} \text{ pC/N}$ ,  $q_{31} = 60 \cdot 10^{-12} \text{ m/A}$ ,  $\nu = 0.3$ ,  $\rho = 6890 \text{ kg/m}^3$ ,  $R_1 = 1.5 \text{ mm}$ ,  $R = 4.5 \text{ mm}$ ,  $\omega = 2\pi f + i \cdot 15\,000 \text{ rad/s}$ .

Как видно из анализа диаграммы существования мод, представленной на рис. 2, третья мода для кольца при значении параметра  $\eta = 1/3$  отсутствует.

Зависимость резонансной частоты от отношения радиусов  $\eta$  для первых трех мод иллюстрируется таблицей. Частота основной моды с ростом внутреннего диаметра кольца монотонно уменьшается. Частоты второй и третьей мод сначала уменьшаются, а затем увеличиваются, т.е., например, для второй моды при  $0.05 < \eta < 0.38$ , а для третьей при  $0.05 < \eta < 0.65$  существует минимум. Расположение резонансных частот для мод более высокого порядка аналогично обоим рассмотренным обертонам.

Из рис. 3 видно, что происходит перераспределение энергии между модами. Это проявляется в выраженном отклике высших мод за счет некоторых низших и запрещенных. Перераспределение энергии колебаний происходит за счет ее перехода от первой и запрещенной третьей мод ко второй и пятой. Как следует из рис. 3, амплитуда пятой моды кольца в 5 раз больше, чем амплитуда аналогичной моды у диска.

Физическая причина перераспределения энергии между модами состоит в более выраженном росте амплитуды низкочастотной части радиальных смещений некоторых мод при  $R_1 \rightarrow 0$  и их резком убывании при  $R_1 \rightarrow R$ . Поэтому при различных параметрах геометрии коль-



**Рис. 3.** Частотные зависимости инверсного МЭ-коэффициента для диска (a) и кольца (b). Цифрами обозначены соответствующие моды колебаний.

Зависимость резонансных частот от отношения внутреннего и внешнего радиусов  $\eta$ 

$\eta$	Резонансная частота первой моды $f_{\text{res}}^1$ , kHz	Резонансная частота второй моды $f_{\text{res}}^2$ , kHz	Резонансная частота третьей моды $f_{\text{res}}^3$ , kHz
0	290	760	1225
0.1	278	720	1150
0.15	265	680	1120
0.2	260	675	1190
0.25	240	670	—
0.3	230	700	—
0.35	220	740	—
0.4	205	—	780
0.45	190	—	845
0.5	180	—	920
0.55	175	—	1000
0.6	165	—	1125
0.65	160	—	—

ца колебания его разных участков перераспределяются между модами. Частотное расположение резонансов различных мод обусловлено тем, что расстояние между нулями радиальных смещений неодинаково.

Результаты расчета коэффициента усиления по напряжению представлены на рис. 4 для диска (а) и кольца (b). Он рассчитан при тех же значениях параметров.

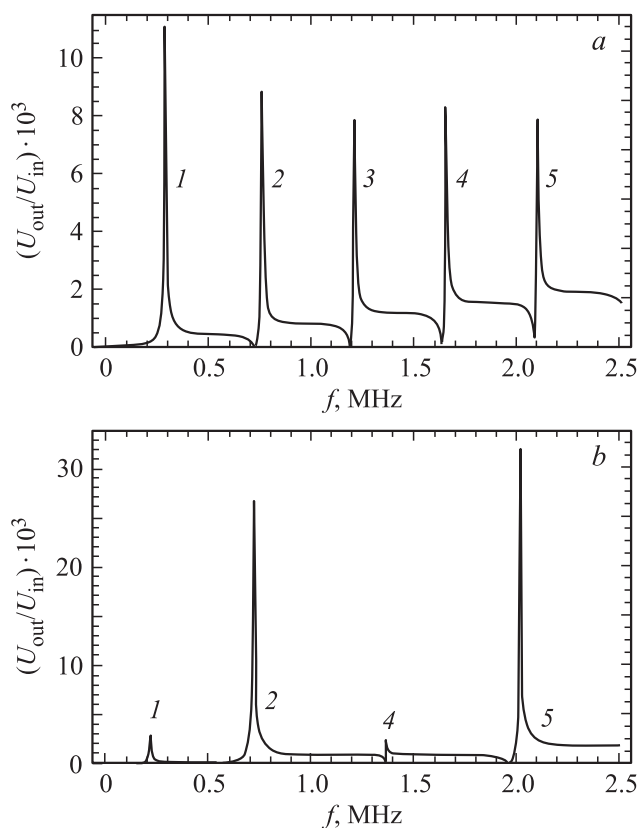


Рис. 4. Частотные зависимости коэффициента передачи напряжения для диска (а) и кольца (b). Цифрами обозначены соответствующие моды колебаний.

Число витков измерительной катушки  $N$  предполагалось равным 20, толщина кольца  $d = 0.3$  mm. Как видно из рис. 4, коэффициент передачи напряжения у второй и пятой мод кольца значительно выше, чем у диска. Это объясняется тем, что коэффициент передачи пропорционален произведению частоты  $\omega$  на коэффициент инверсного преобразования  $\alpha_B$ . У диска с ростом моды коэффициент  $\alpha_B$  убывает быстрее, чем возрастает частота моды, поэтому с ростом номера моды коэффициент передачи напряжения уменьшается. У кольца, наоборот, значение  $\alpha_B$  для некоторых мод (в зависимости от параметра  $\eta$ ) возрастает, в результате чего с ростом номера моды происходит увеличение значения коэффициента передачи напряжения. В данном случае при значении параметра  $\eta = 1/3$  происходит увеличение  $\alpha_B$  для второй и пятой мод (по сравнению с первой), в результате чего коэффициент передачи для пятой моды значительно больше, чем для диска.

#### 4. Заключение

В работе рассмотрен инверсный МЭ-эффект в кольцевых структурах на частотах радиальных резонансов. Показано, что в зависимости от отношения внешнего и внутреннего радиусов кольца существуют области, при которых существование некоторых мод запрещено. Представлены области существования первых трех мод колебаний для кольца. Показано, что с ростом внутреннего радиуса кольца частоты высших мод сначала уменьшаются, а затем увеличиваются. Построена частотная зависимость коэффициента передачи по напряжению. Показано, что в зависимости от отношений внутреннего и внешнего радиусов кольца происходит увеличение (по сравнению со случаем диска) коэффициента передачи по напряжению на более высоких частотах, связанное с перераспределением энергии колебаний между модами.

## Список литературы

- [1] Л.Д. Ландау, Е.М. Лифшиц. Электродинамика сплошных сред. ГИФМЛ, М. (1959). 532 с.
- [2] И.Е. Дзялошинский. ЖЭТФ **37**, 881 (1959).
- [3] Д.Н. Астров. ЖЭТФ **40**, 1035 (1961).
- [4] V.J. Folen, G.T. Rado, E.M. Stalder. Phys. Rev. Lett. **6**, 607 (1961).
- [5] А.П. Пятаков, А.К. Звездин. УФН **182**, 593 (2012).
- [6] S. Dong, J-F. Li, D. Viehland. Appl. Phys. Lett. **85**, 2307 (2004).
- [7] Д.А. Филиппов, Т.А. Галкина, В.М. Лалетин, G. Srinivasan. Письма в ЖТФ **38**, 2, 82 (2012).
- [8] M.I. Bichurin, D.A. Filippov, V.M. Petrov, V.M. Laletsin, N.M. Paddubnaya, G. Srinivasan. Phys. Rev. B **68**, 132 408 (2003).
- [9] Д.А. Филиппов, Т.А. Галкина, G. Srinivasan. Письма в ЖТФ **36**, 21, 23 (2010).
- [10] Д.А. Филиппов, Т.А. Галкина, В.М. Лалетин, G. Srinivasan. ФТТ **53**, 1737 (2011).
- [11] Г.С. Радченко. Письма в ЖТФ **34**, 22, 14 (2008).
- [12] G.S. Radchenko. Appl. Phys. A **109**, 449 (2012).
- [13] C.V. Stephenson. J. Acoust. Soc. Am. **28**, 51 (1956).
- [14] C.V. Stephenson. J. Acoust. Soc. Am. **28**, 928 (1956).
- [15] G. Harshe, J.P. Dougherty, R.E. Newnham. Int. J. Appl. Electromagn. Mater. **4**, 161 (1993).
- [16] M.I. Bichurin, V.M. Petrov, G. Srinivasan. Phys. Rev. B **68**, 054 402 (2003).